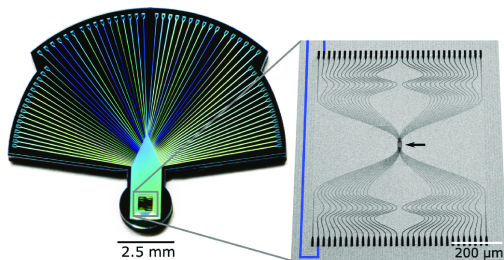


# Supravodivé nanodrátky

Antonín Černocho a Jan Soubusta

Společná Laboratoř Optiky UP a FZÚ AV ČR



# Obsah

- 1 Historický vývoj
- 2 Mikrokalorimetr na hraně supravodivosti – TES
- 3 Supravodivý nanodrátek
- 4 Konstrukce SNSPD
- 5 SNSPD pro kvantovou kryptografii
- 6 Výrobci

# Historický vývoj

- 1911 objevena supravodivost kovů nizozemským fyzikem Heike Kamerlingh Onnesem
- 1971 rychlost změny odporu supravodiče z Pb při osvětlení laserovým pulsem
- 1977 zkonstruován TES (Transition-edge sensor) pracující na hraně supravodivosti
- 1996 supravodivý senzor může pracovat i mnohem rychleji než termální bolometr
- 2001 první funkční prototyp detektoru založeného na supravodivém nanodrátku

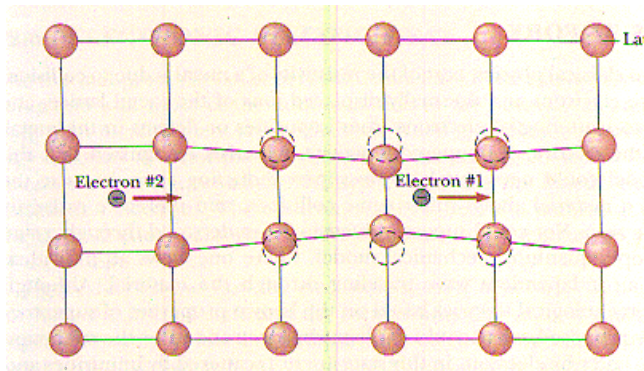
SNSPD – *Superconducting Nanowire Single-Photon Detectors*

# Cooperovy páry

- proč funguje supravodivost?
- vazební energie Cooperových páry v jednotkách meV
- dopad fotonu s energií jednotek eV rozbije stovky těchto párů
- v oblasti dopadu je narušena supravodivost a vznikne *hotspot*

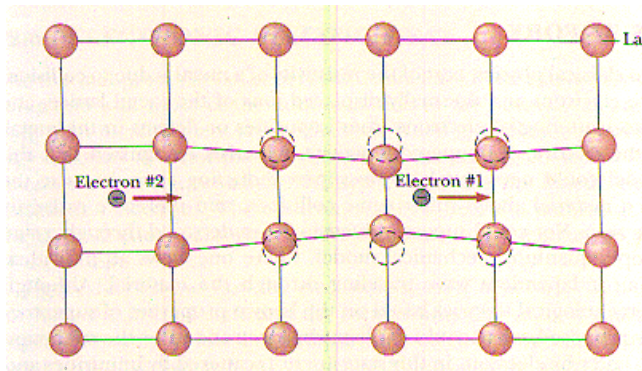
# Cooperovy páry

- proč funguje supravodivost?
- vazební energie Cooperových páry v jednotkách meV
- dopad fotonu s energií jednotek eV rozbije stovky těchto párů
- v oblasti dopadu je narušena supravodivost a vznikne *hotspot*



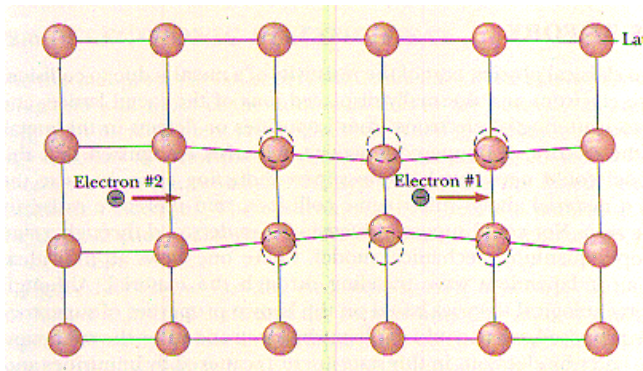
# Cooperovy páry

- proč funguje supravodivost?
- vazební energie Cooperových páry v jednotkách meV
- dopad fotonu s energií jednotek eV rozbije stovky těchto párů
- v oblasti dopadu je narušena supravodivost a vznikne *hotspot*



# Cooperovy páry

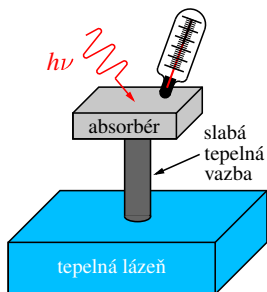
- proč funguje supravodivost?
- vazební energie Cooperových páry v jednotkách meV
- dopad fotonu s energií jednotek eV rozbije stovky těchto párů
- v oblasti dopadu je narušena supravodivost a vznikne *hotspot*



# Obsah

- 1 Historický vývoj
- 2 Mikrokalorimetr na hraně supravodivosti – TES**
- 3 Supravodivý nanodrátek
- 4 Konstrukce SNSPD
- 5 SNSPD pro kvantovou kryptografii
- 6 Výrobci

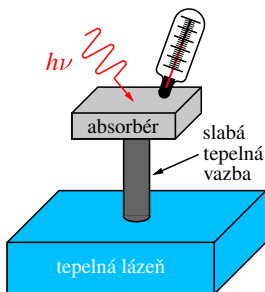
# TES – *Transition Edge Sensor*



## Mikrokolorimetr na hraně supravodivosti

- nárůst teploty → změna odporu
- teplota supravodivosti  $T_c \sim 100$  mK
- tenký wolframový film  $25 \times 25 \times 0.035 \mu\text{m}^3$  na Si substrátu s Al konektory
- širokospektrální, nutná kalibrace podle energie fotonů ( $E = hc/\lambda$ )

# TES – *Transition Edge Sensor*



## Mikrok calorimetr na hraně supravodivosti

- nárůst teploty → změna odporu
- teplota supravodivosti  $T_c \sim 100$  mK
- tenký wolframový film  $25 \times 25 \times 0.035 \mu\text{m}^3$  na Si substrátu s Al konektory
- širokospektrální, nutná kalibrace podle energie fotonů ( $E = hc/\lambda$ )

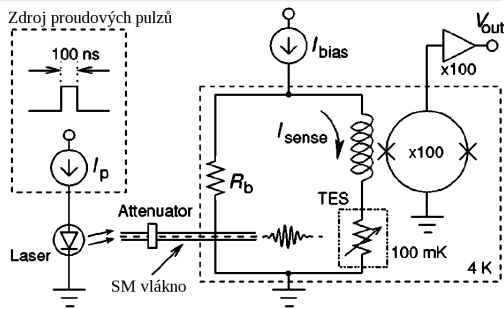
## Kvantová účinnost

- teoreticky 80 %, v praxi 20 % (pro 1550 a 1310 nm)
- optická past nebo rezonátoru → 95 %
- malá absorpce, velká odrazivost

# TES – Funkční schéma

## Zpracování proudového pulzu

- Proudový pulz v obvodu detektoru úměrný změně teploty
- $100\times$  SQUID (supravodivé kvantové interferenční zařízení) @4 K
- další elektronika při pokojové teplotě



Miller *et al.*, App. Phys. Lett. **83**, 791 (2003)

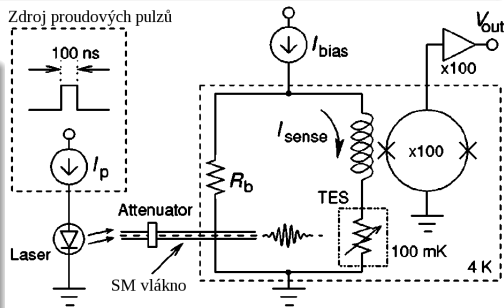
# TES – Funkční schéma

## Zpracování proudového pulzu

- Proudový pulz v obvodu detektoru úměrný změně teploty
- 100× SQUID (supravodivé kvantové interferenční zařízení) @4 K
- další elektronika při pokojové teplotě

## Vlastnosti TES

- pomalý (vedení tepla) –  $\Delta t \approx 100$  ns,  $\tau_D \approx 2$   $\mu$ s
- zanedbatelné  $D \approx 3$  Hz
- rozlišení až 8 fotonů v rozsahu od 200 do 1800 nm



Miller *et al.*, App. Phys. Lett. **83**, 791 (2003)

# Obsah

- 1 Historický vývoj
- 2 Mikrokalorimetr na hraně supravodivosti – TES
- 3 Supravodivý nanodrátek**
- 4 Konstrukce SNSPD
- 5 SNSPD pro kvantovou kryptografii
- 6 Výrobci

# Něco za něco

## Co chceme

- zvýšit účinnost
- zrychlit proces detekce
- zmenšit timing jitter
- zachovat malé  $D$



# Něco za něco

## Co chceme

- zvýšit účinnost
- zrychlit proces detekce
- zmenšit timing jitter
- zachovat malé  $D$

## Co jsme ochotni obětovat

- NIC
- ...
- když už něco musí být, tak třeba rozlišení v počtu fotonů



# Něco za něco

## Co chceme

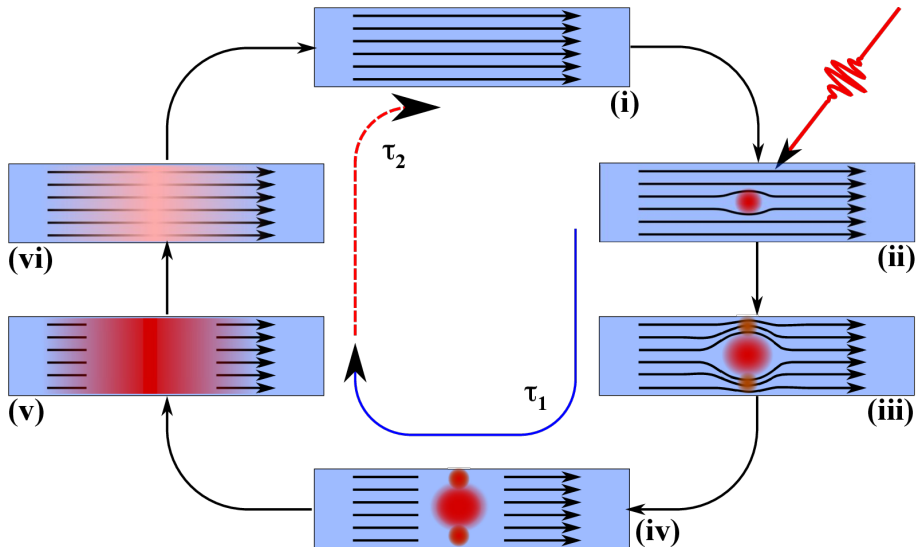
- zvýšit účinnost
- zrychlit proces detekce
- zmenšit timing jitter
- zachovat malé  $D$

## Co jsme ochotni obětovat

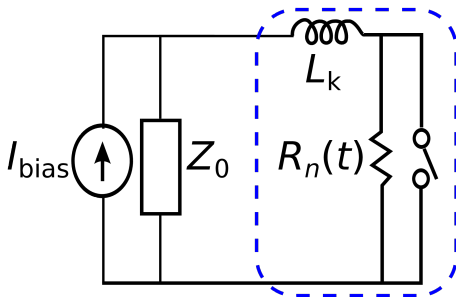
- NIC
- ...
- když už něco musí být, tak třeba rozlišení v počtu fotonů



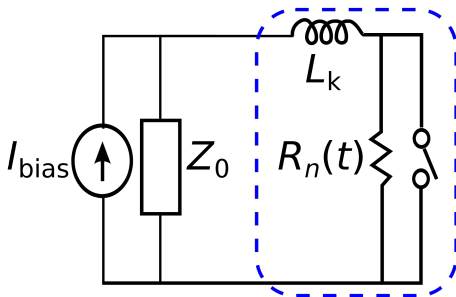
# Princip detekce v nanodrátku



# Náhradní elektrické schéma



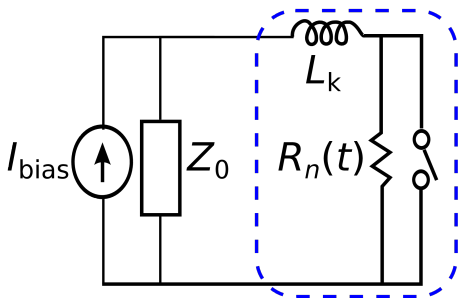
# Náhradní elektrické schéma



kinetická induktaance  $L_k$

induktance – magnetické pole způsobuje setrvačnost směru proudu  
kinetická induktaance i bez cívky – u supravodičů s velmi vysokou hustotou proudu a při velmi vysokých frekvencích

# Náhradní elektrické schéma



- detekční napěťový pulz velmi slabý ( $\mu\text{V}$ )
- kryogenní zesilovače 30 dB (1-2 GHz šířka pásma)
- další širokopásmový zesilovač při pokojové teplotě 20 dB (9 GHz)
- výstupní detekční puls 300 – 400 mV, SNR 100:1

## kinetická induktance $L_k$

induktance – magnetické pole způsobuje setrvačnost směru proudu  
 kinetická induktance i bez cívky – u supravodičů s velmi vysokou hustotou proudu a při velmi vysokých frekvencích

# Kvantová účinnost

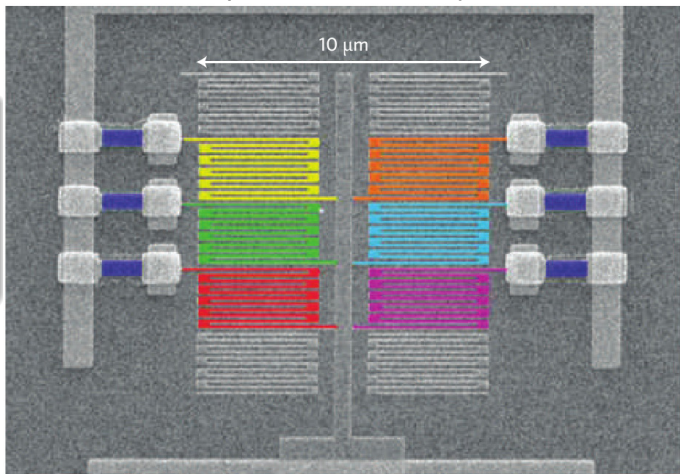
omezená šířka nanodrátku  $\rightarrow$  malá plocha  $\Rightarrow$  meandry

## Účinnost

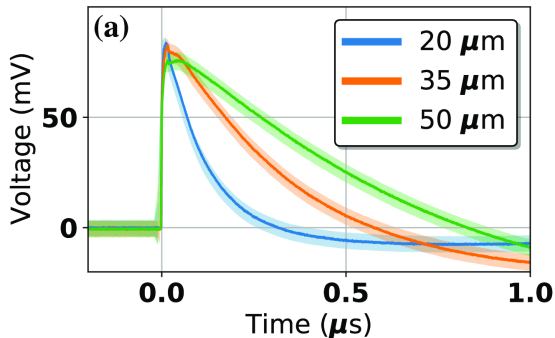
- navázání
- absorpce
- záznamu

DDE nebo SDE

Optimalizace na  
různé aplikace  
viz konstrukce



# Časové vlastnosti



náběžná hrana  $\tau_1$

$\approx 1 \text{ ns}$

úběžná hrana  $\tau_2$

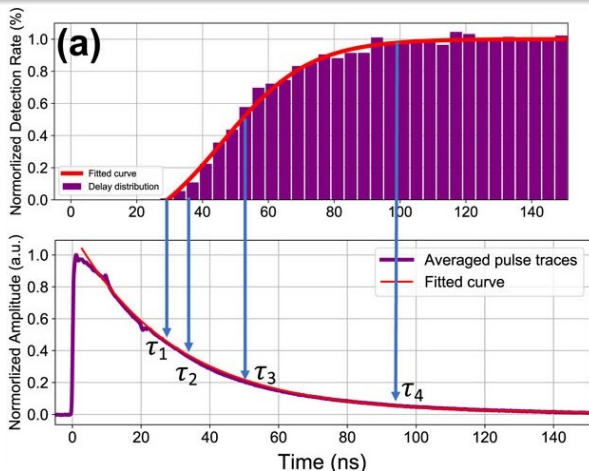
od jednotek po stovky nanosekund v závislosti na aktivní ploše meandru (délce nanodrátku)

timing jitter  $\Delta t$

- více zdrojů: detektor, zesilovací elektronika, zdroj fotonů nebo detekční osciloskop
- největší vliv délka nanodrátku

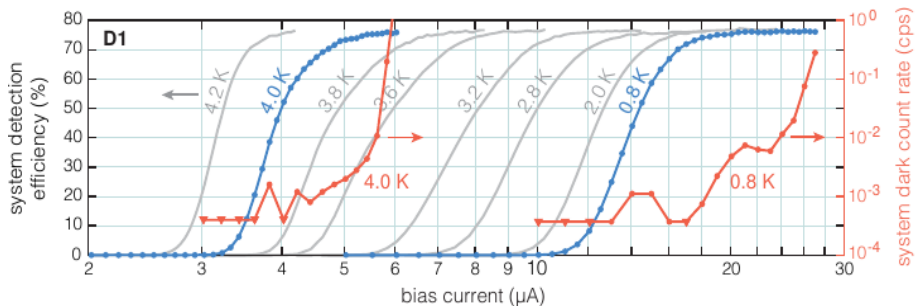
# účinnost detekce $\times$ mrtvá doba $\tau_d$

- zasažený úsek nanodrátku není v supravodivém stavu
- teplota substrátu (rezervoáru) výrazně pod  $T_c$ , tak jak to jen jde



# Temné detekce $D$

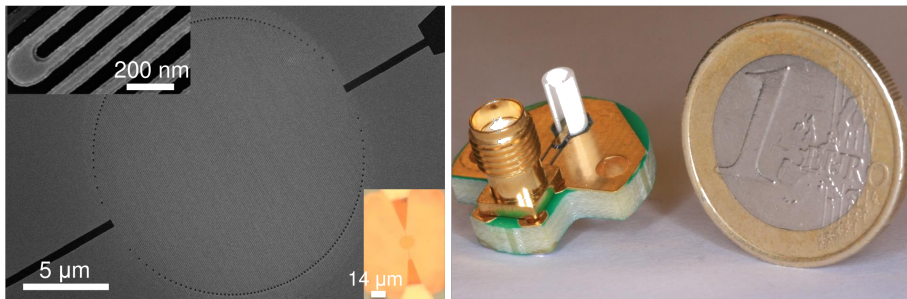
- vnější – malá excitační energie Cooperových párů  $\Rightarrow$  chlazené filtry
- vnitřní – fluktuace proudu, rostou exponenciálně s  $I_{sw}$ , pro  $0.9 I_{sw}$  jsou zanedbatelné
- nižší teploty  $\rightarrow$  lepší SNR



# Obsah

- 1 Historický vývoj
- 2 Mikrokalorimetr na hraně supravodivosti – TES
- 3 Supravodivý nanodrátek
- 4 Konstrukce SNSPD**
- 5 SNSPD pro kvantovou kryptografii
- 6 Výrobci

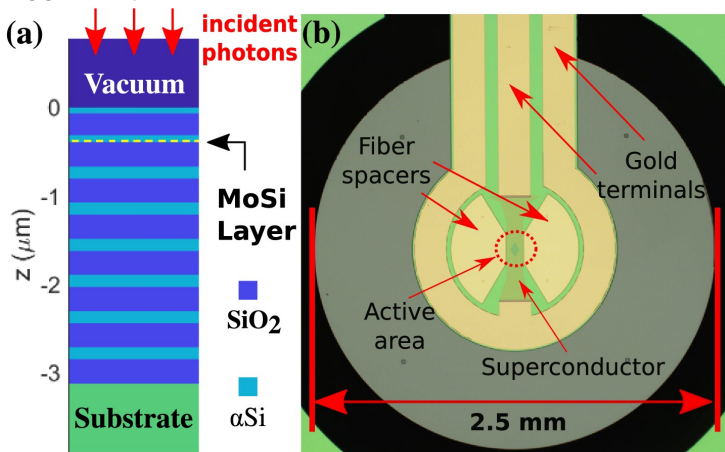
# Na kolmo k výstupu optického vlákna



- difrakční limit resp. stopa svazku z optického vlákna  $10 \times 10 \mu\text{m}^2$  pro 1550 nm
- centrování optického vlákna vůči senzoru při změně teploty
- užší nanodrátek  $\rightarrow$  větší pravděpodobnost záznamu, ale menší plocha  $\rightarrow$  delší meandr  $\rightarrow$  větší  $\Delta t$
- optimalizace meandru pro různé aplikace a vlnové délky

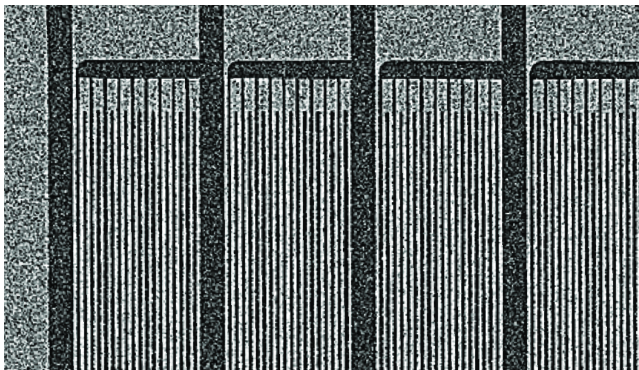
# Nanodrátek v rezonátoru

- samotný nanodrátek má účinnost absorpce pouze 30 %
- zrcadla pod (i nad) z Au, Ag nebo dielektrických vrstev (Braggovská)



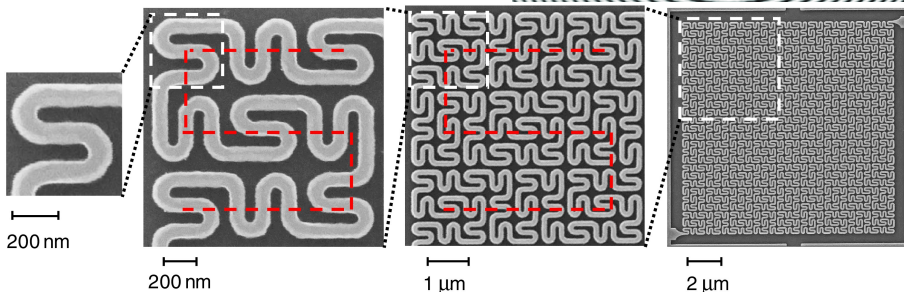
# Segmentace

- rozdělení meandru na několik segmentů s odděleným vyčítáním
- zvýšení frekvence čítání nebo rozlišení v počtu fotonů
- možnost přeslechů, pokud jsou nanodrátky blízko sebe

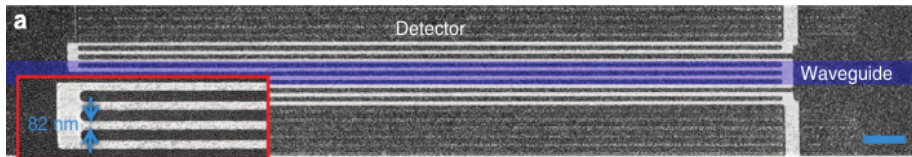


# Polarizační závislost

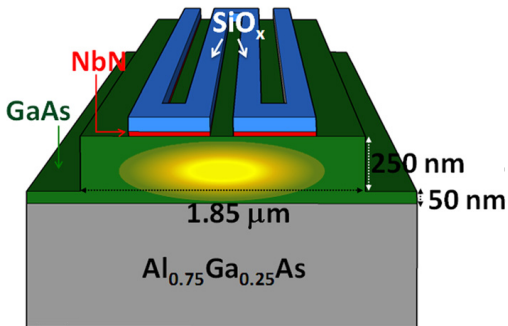
- výrazná anizotropie meandrů
- polarizace ve směru nanodrátku má menší absorpci než kolmá
- nové tvary - spirála, fraktály



# Nanodráték na vlnovodu

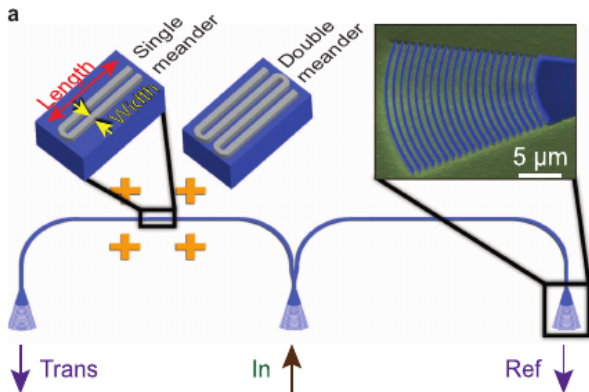


- integrovaná optika – generace, zpracování i detekce světla ve vlnovodu
- odpadá problém málo účinného navázání do popř. vyvázání z materiálu o velkém indexu lomu
- přenos energie skrz evanescentní vlnu

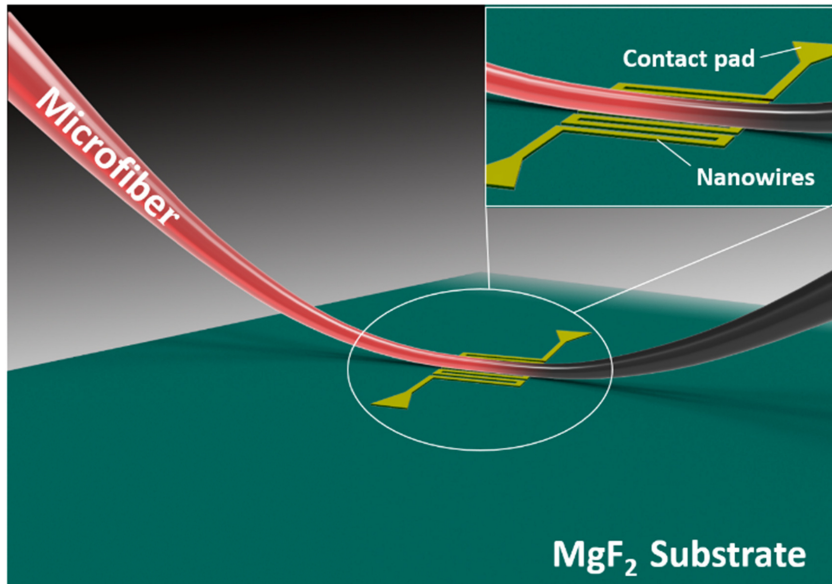


## Zatím nic moc výsledky

- tvar a délka meandru optimalizovány vzhledem k vlnové délce a vedenému modu
- krátký meandr → rychlejší odezva (stovky MHz)
- maximální DDE 66 % (pro  $0.96 I_{sw} \rightarrow D = 1.8 \text{ kHz}$ )

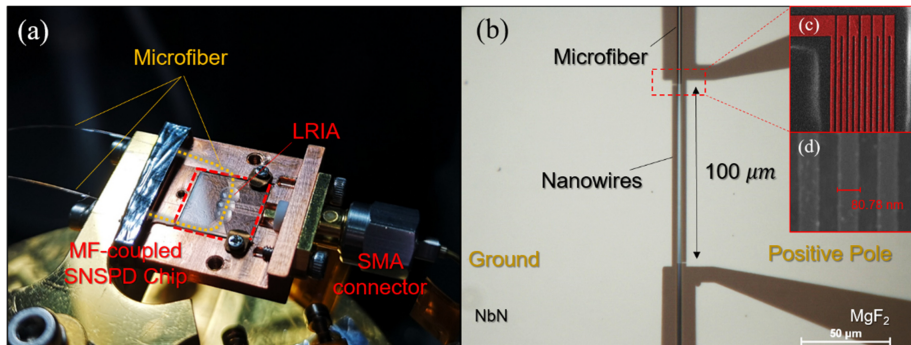


# Fokusace mikrovlnám



## Zatím nic moc výsledky

- typický průměr jádra vlákna pro 1550 nm  $\sim 6 \mu\text{m}$
- mikrovláknem bez pláště zúženo až na  $1.3 \mu\text{m}$   $\rightarrow$  výrazné ztráty, výraznější pro delší vlnové délky
- experimentální SDE 45 % a  $D = 50 \text{ Hz}$  pro 1550 nm



# Obsah

- 1 Historický vývoj
- 2 Mikrokalorimetr na hraně supravodivosti – TES
- 3 Supravodivý nanodrátek
- 4 Konstrukce SNSPD
- 5 SNSPD pro kvantovou kryptografii**
- 6 Výrobci

# Maximální secret bit rate



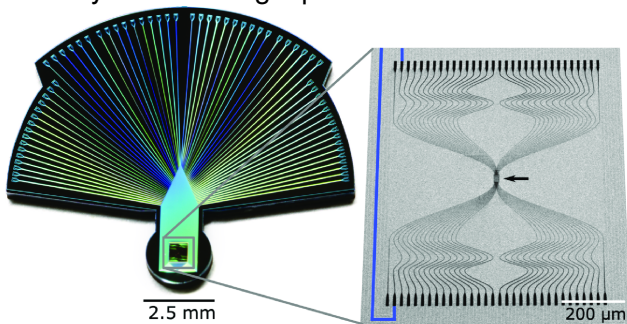
- frekvence čítání 10 GHz
- $\Delta t < 10$  ps (3 ps)
- SDE nejlépe 100 % (98 %)
- bez šumu ( $6 \times 10^{-6}$  Hz)

(rekordmani v jednotlivých kategoriích)

kdo vyhraje moderní pětiboj?

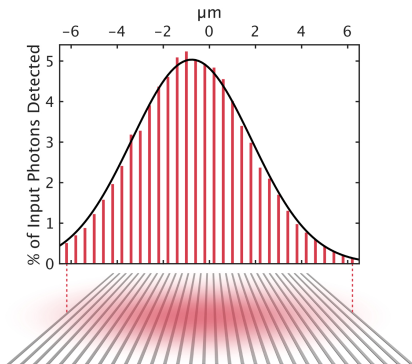
# PEACOOQ *Optica* 10, 183 (2023)

## Performance-Enhanced Array for Counting Optical Quanta



- 32 zvlášť vyčítaných nanodrátků dlouhých  $13\ \mu\text{m}$
- elektrické kontakty mají stejnou délku

# Vlastnosti



- pravděpodobnost přeslechu 0.5 %
- účinnost jednoho segmentu násobíme 25 → SDE ( $78 \pm 4$ ) %
- mrtvá doba 5 ns + 2 ns pro SDE alespoň 25 % → 143 MHz
- polarizačně nezávislé
- technicky možné čítat počty fotonů

Celkem: pro 1 GHz má SDE 50 % a timing jitter 46 ps

QKD na 100 km (zdroj 10 GHz,  $\langle n \rangle = 0.025$  na puls,  $0.2 \text{ dB km}^{-1}$ ) dosáhne  $70 \text{ Mbit s}^{-1}$  tajného klíče

# Obsah

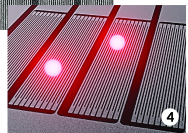
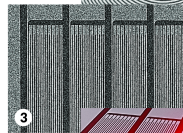
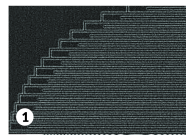
- 1 Historický vývoj
- 2 Mikrokalorimetr na hraně supravodivosti – TES
- 3 Supravodivý nanodrátek
- 4 Konstrukce SNSPD
- 5 SNSPD pro kvantovou kryptografii
- 6 Výrobci**

# Výrobci

## ID Quantique

- spin-off prof. N. Gisin (Ženeva)
- doplněk jejich QKD
- až 16 různých senzorů v jednom kryostatu

[www.idquantique.com](http://www.idquantique.com)



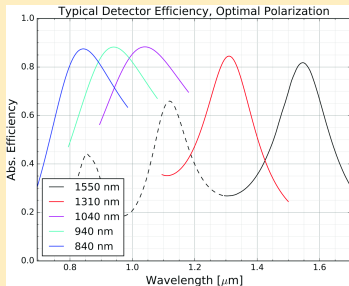
## Photon Spot (USA)

[www.photonspot.com](http://www.photonspot.com)

- spin-off dr. Ananta
- vyrábí na míru
- certifikát od NISTu:  
na 1550 nm SDE  
95.5 % při 100 kHz



## Quantum Opus (USA)

[www.quantumopus.com](http://www.quantumopus.com)

- spin-off dr. A. J. Millera
- model Opus One, až 16 senzorů,  
rack-mount
- nejlevnější konfigurace za \$105 000

Scontel (Rusko)

[www.scontel.ru](http://www.scontel.ru)

- založena roku 2004 prof. G. Gol'tsmanem a jeho studenty
- 5 typů modelů optimalizovaných na účinnost, nízký šum, širokospektrální odezvu



Single Quantum (Nizozemí)

[www.singlequantum.com](http://www.singlequantum.com)

- na trhu od roku 2012, zapojena do projektu EuroQCI
- senzory optimalizované na 800, 900, 1064, 1310 a 1550 nm

## Porovnání modelů pro 1550 nm

	ID Quantique		Photon Spot*	Quantum Opus	Scontel	Single Quantum
	ID230	ID287*				
SDE [%]	25	95	85	80	90	85
D [Hz]	50	0.01	100	100	100	10
$\Delta t$ [ps]	150	24	30	100	50	20
CR [MHz]	0.5	100	20	20	67	50



# Co říci závěrem

## Doporučená literatura

- G. N. Gol'tsman *et al.*, "Picosecond superconducting single-photon optical detector", *Appl. Phys. Lett.* **79**, 705 (2001).
- Ch. M. Natarajan, M. G. Tanner and R. H. Hadfield, "Superconducting nanowire single-photon detectors: physics, and applications", *Supercond. Sci. Technol.* **25**, 063001 (2012); ArXiv quant-ph 1204.5560.
- Lixing You, "Superconducting Nanowire Single-Photon Detectors for Quantum Information", arXiv quant-ph 2006.00411 (2000).
- I. Craiciu *et al.*, "High-speed detection of 1550 nm single photons with superconducting nanowire detectors", *Optica* **10**, 183 (2023).

Při přípravě této prezentace byl využit AI, přesněji DALL-E pro generování kreseb